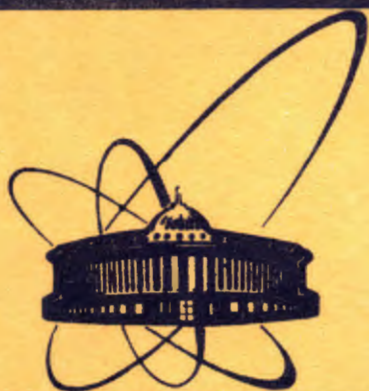


80-644



сообщения
объединенного
института
ядерных
исследований
дубна

606/2-81

9/2-81

1-80-644

БЕСФИЛЬМОВЫЙ СПЕКТРОМЕТР БИС-2
И ЕГО ФИЗИЧЕСКИЕ ХАРАКТЕРИСТИКИ

1980

1-80-644

БЕСФИЛЬМОВЫЙ СПЕКТРОМЕТР БИС-2
И ЕГО ФИЗИЧЕСКИЕ ХАРАКТЕРИСТИКИ

ОБЪЕДИНЕННЫЙ ИНСТИТУТ
ЯДЕРНЫХ ИССЛЕДОВАНИЙ
БИБЛИОТЕКА

Айхнер Г. и др.

1-80-644

Бесфильмовый спектрометр БИС-2
и его физические характеристики

Для поиска новых частиц на канале нейтральных частиц серпуховского ускорителя создан бесфильмовый магнитный спектрометр БИС-2. Спектрометр состоит из 11 пропорциональных камер, черенковского спектрометра, детектора мюонов и системы сцинтилляционных счетчиков и работает на линии с ЭВМ ЕС-1040 и ТРА-1001i. Электроника спектрометра занимает 35 крейтов в стандарте КАМАК. Разрешение черенковского спектрометра полного поглощения по энергии хорошо опи-

сывается формулой $\Delta E/E = \frac{11,4 - \frac{+1,1}{-0,9}}{\sqrt{E} / \Gamma \text{ЭВ}}$. Разрешение по эффек-

тивной массе БИС-2 составляет для Λ^0 2,0 МэВ/с², для K^0 - 4,0 МэВ/с². Эффективность регистрации для дифракционных процессов - от 1 до 3%.

Работа выполнена в Лаборатории высоких энергий ОИЯИ.

Сообщение Объединенного института ядерных исследований. Дубна 1980

Eichner G. et al.

1-80-644

BIS-2 Filmless Spectrometer and Its Physical
Characteristics

The BIS-2 magnetic spectrometer employed in experiments on the search of new particles on a channel of neutral particles of the Serpukhov accelerator has been designed. It consists of 11 proportional chambers, the Cherenkov hodoscope, μ -meson detector, and of the system of scintillation counters and operate on-line with the EC-1040 and TPA-1001i computers. The spectrometer electronics occupies 35 CAMAC crates. The resolution of the Cherenkov hodoscope over energy is described by the formula:

$\Delta E/E = \frac{11,4 - \frac{+1,1}{-0,9}}{\sqrt{E} (\text{GeV})}$. The resolution of the BIS-2 over the

effective mass for Λ^0 is 2.0 MeV/c², for K^0 - 4.0 MeV/c². The efficiency of registration for diffraction processes is from 1 upto 3 percent.

The investigation has been performed at the Laboratory of High Energies, JINR.

Communication of the Joint Institute for Nuclear Research. Dubna 1980

1. ВВЕДЕНИЕ

Для поиска новых частиц с ненулевым квантовым числом "очарование" на серпуховском ускорителе создан бесфильмовый спектрометр с пропорциональными камерами - БИС-2. Поиск новых частиц осуществляется в сильных взаимодействиях при столкновении нейтронов с ядрами углеродной мишени по продуктам распада, среди которых есть нейтральные странные частицы, такие, как Λ^0 или K^0 , хорошо идентифицируемые магнитным искровым спектрометром^{/1/}.

В спектрах эффективных масс дочерних продуктов в случае рождения очарованных частиц должны наблюдаться узкие пики, ширины которых сравнимы с аппаратурными разрешениями спектрометра.

В работах^{/1,2/} наблюдались выбросы в спектрах эффективных масс $\Lambda^0 \pi^+ \pi^-$ при 2,09 ГэВ/с² и $\Lambda^0 K^+ K^-$ при 2,79 ГэВ/с². Однако достоверных заключений о существовании частиц с указанными массами не было сделано из-за недостаточной статистической обеспеченности экспериментальных данных. Для увеличения статистики, как минимум, на порядок необходимо было создать новую экспериментальную установку.

В качестве координатных детекторов нового спектрометра БИС-2 были выбраны пропорциональные камеры /ПК/, которые являются более быстродействующими по сравнению с искровыми. Кроме того, ПК позволяют организовать более совершенный и универсальный запуск установки^{/3/}.

В данной работе описывается схема БИС-2 на пучке нейтральных частиц серпуховского ускорителя и его физические характеристики.

2. ФОРМИРОВАНИЕ ПУЧКА НЕЙТРОНОВ

Канал Λ_n нейтральных частиц серпуховского ускорителя ориентирован на внутреннюю бериллиевую мишень диаметром 2 мм и длиной 20 мм под углом 11,3 мрад к циркулирующему пучку протонов. Внутренняя мишень расположена в вакуумной камере ускорителя на расстоянии /-21/ мм от оси равновесной орбиты ускоренных протонов.

Полная длина канала Λ_n от внутренней мишени до головных элементов БИС-2 составляет около 6,5 м. Пучок нейтронов форми-

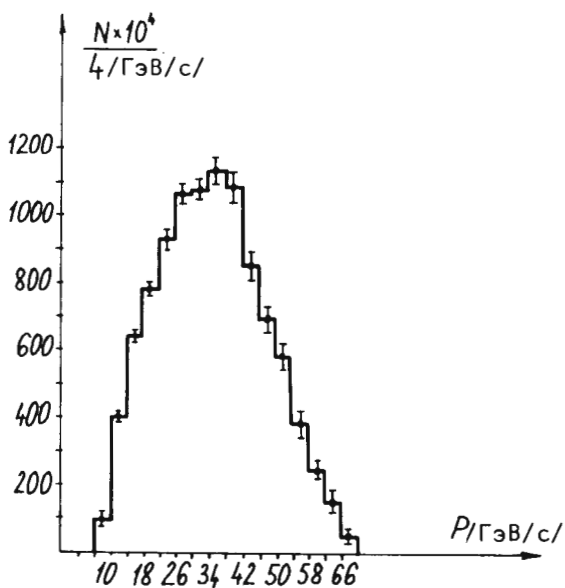


Рис.1. Импульсный спектр нейтронов в канале нейтральных частиц ${}^4\text{H}$ / серпуховского ускорителя.

Импульсное распределение нейтронов было оценено по реакции перезарядки /рис.1/ $p \rightarrow p n$.

Интегральная интенсивность нейтронов, вычисленная из данных по сечению перезарядки по двум интервалам импульса, /25÷30/ ГэВ/с и /30÷35/ ГэВ/с, оказалась одинаковой и равной $(0,85 \pm 0,2) \cdot 10^6$ нейтронов при сбросе на внутреннюю мишень 10^{11} ускоренных до 70 ГэВ протонов. Это значение находится в хорошем согласии с $(0,7 \pm 0,3) \cdot 10^6$ нейтронов - величиной, полученной из показаний нейтронного монитора MN /рис.2/.

3. СПЕКТРОМЕТР

Блок-схема расположения экспериментальной аппаратуры БИС-2 на канале ${}^4\text{H}$ приведена на рис.2. Основу спектрометра составляют: магнит СП-40, система из ПП ПК и сцинтилляционных счетчиков /Г1/. Для регистрации и идентификации электронов, позитро-

нуется системой из трех стальных коллиматоров с суммарной толщиной 9 метров, которые обеспечивают размеры пучка в области углеродной мишени спектрометра 48 мм по горизонтали и 65 мм по вертикали.

От гамма-квантов пучок очищался дистанционно управляемым свинцовым гамма-фильтром, максимальная толщина которого может достигать 20 см. Заряженные частицы удаляются из пучка полем ускорителя /6 м/ и расположенным непосредственно за гамма-фильтром полем магнита СП-129. После магнита СП-129 частицы пучка проходят по вакуум-проводу. На выходе канала пучок состоит в основном из нейтронов с небольшой примесью K_L^0 -мезонов /~1,5%/.

Таблица 1

№ ПК	Размеры, мм		L, мм		S, мм		S ₁ , мм		N, сигн. пров.		φ в/в пров., мкм	φ сигн. пров., мкм	Примечание
	X	Y	X	Y	X	Y	X	Y	X	Y			
1	200	200	6	6	2	2	2	2	2	2	100	20	
2	400	300	8	-	2	-	2	-	2	-	100	20	
3	400	300	8	8	2	2	2	2	2	150	60	20	
4	400	300	8	8	2	2	2	2	2	150	60	20	
5	820	300	8	8	2	2	2	2	2	138	60	20	
6	820	300	8	8	2	2	2	2	2	138	60	20	
7	1000	600	6	6	2,16	2,16	1	1	1	456	100	20	угол намотки 22,5°
8	1000	600	8	8	2	2	1	1	1	480	60	20	
9	1000	600	6	6	2,16	2,16	1	1	1	456	100	20	угол намотки 22,5°
10	1000	600	8	8	2	2	1	1	1	480	60	20	
11	1000	600	8	8	2	2	1	1	1	480	60	20	

X - размеры рабочей области ПК по горизонтали; Y - размеры рабочей области ПК по вертикали;

L - зазор между электродами; S - расстояние между сигнальными проволочками; N - число сигнальных проволочек, φ - диаметр сигнальных и высоковольтных проволочек; S₁ - расстояние между высоковольтными проволочками.

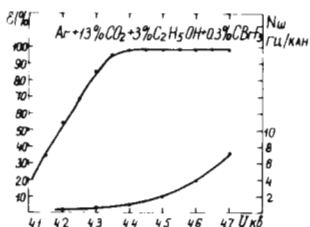
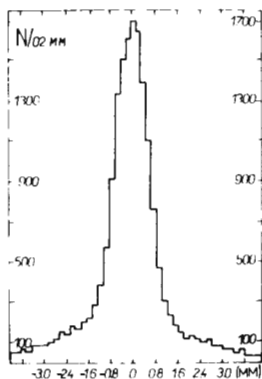


Рис.3. Типичная зависимость эффективности регистрации заряженных частиц ПК БИС-2 и интенсивности шумовых импульсов /нижняя кривая/ от приложенного к ПК напряжения.

Рис.4. Пространственное разрешение ПК / $\sigma \approx 0,6$ мм/.



прохождения заряженных частиц через ПК, интенсивности шумовых сигналов от приложенного к ПК напряжения и распределение, характеризующее пространственную точность ПК соответственно.

Пространственная корректировка "положения" ПК относительно друг друга в программе геометрической реконструкции треков производилась методом восстановления траекторий частиц, зарегистрированных установкой при выключенном и размагниченном магните. При этом величина остаточного поля в СП-40 не превышала 1÷3 гаусс. Этот метод позволяет "связать" все ПК с точностью не хуже $\pm 0,1$ мм. Общая система координат спектрометра "привязана" к пучку частиц и центру магнита СП-40: начало координат - в центре СП-40, ось Z - по направлению движения нейтронов, ось Y - вверх, ось X - так, чтобы система координат была правой.

3.3. Сцинтилляционные счетчики

В систему сцинтилляционных детекторов, образуемую 50 счетчиками, входят следующие элементы:

1. Система мониторинга нейтронного пучка (MN), состоящая из трех счетчиков диаметром 120 мм и толщиной сцинтилляторов 1 см. Между первым и вторым счетчиками расположена свинцовая пластина толщиной 4 мм /4,54 г/см²/, при этом первый счетчик включен на антисовпадения с остальными двумя для выделения из пучка нейтральных частиц. Импульсы с нейтронного монитора кроме контроля нейтронного пучка выполняли функции синхронизации работы установки с работой ускорителя.

2. Годоскопическая плоскость /Г1/, состоящая из 14 счетчиков с размерами /200x650x10/ мм³, используется в системе запуска по числу сработавших счетчиков.

3. Годоскопические плоскости /Г2, Г3/ вместе с четырьмя чугунными кубами размером /1,0x1,0x1,25/ м³ каждый образуют детектор, предназначенный для регистрации и идентификации мюонов от распада вторичных частиц. Плоскость Г2 содержит 12 счетчиков с размерами /400x600x20/ мм³. Плоскость Г3 состоит из 20 счетчиков размером /200x650x10/ мм³. Общее количество вещества в детекторе мюонов составляет около 20 ядерных длин.

4. Счетчик антивоспадения, расположенный до углеродной мишени, размером /250x250x10/ мм³ служит для "подавления" оставшейся заряженной фракции пучка /около 1,5%/.

Во всех сцинтилляционных спектрометрах использованы пластиковые сцинтилляторы и фотоумножители ФЭУ-30 с делителями, подобранными по максимуму сигнала.

3.4. Черенковский спектрометр полного поглощения /ЧСПП/

Черенковский годоскоп создан для регистрации электронов и гамма-квантов от распадов вторичных частиц. Он может быть также использован для подавления фона от адронов и мюонов^{7-10/}.

Годоскоп состоит из 140 идентичных элементов с радиатором из свинцового стекла ТФ-1 /радиационная длина ≈ 2,5 см/, образующих два плеча /по 70 элементов в каждом плече/, расположенных справа и слева от оси установки /см. рис.2/.

В ЧСПП применены фотоумножители типа ФЭУ-110 с диаметром фотокатода 70 мм, длительность сигнала с ФЭУ - /150÷180/ нс. В каждом элементе использован блок свинцового стекла с размерами /100x100x350/ мм³. Подробно конструкция и характеристики одного элемента ЧСПП описаны в работе^{11/}.

Энергетическое разрешение элементов черенковского годоскопа исследовалось на калибровочном пучке позитронов^{12/} в диапазоне энергий от 200 до 600 МэВ. Среднее энергетическое разрешение элементов в зависимости от энергии пучка позитронов описывается формулой

$$\frac{\Delta E}{E} (\text{FWHM}) = \frac{11,4 \pm 1,1}{\sqrt{E/\text{ГэВ}}}, \quad /1/$$

где E изменяется от 0,2 до 0,6 ГэВ.

Калибровочный пучок электронов на канале 4Н серпуховского ускорителя /при выведенном гамма-фильтре/ имеет разброс по импульсам примерно такого же порядка, что и разрешение спектрометра. На пучке электронов со средней энергией 5 ГэВ, рожденных в канале 4Н, было получено разрешение около 10%. При этом

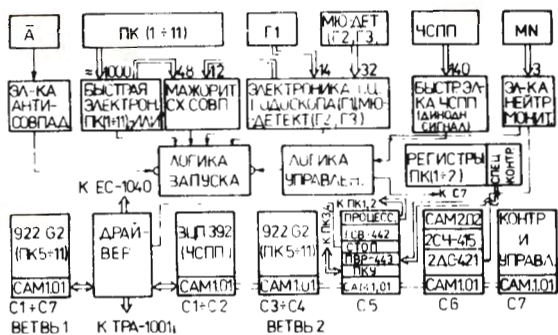


Рис. 5. Блок-схема электронной аппаратуры БИС-2.

энергетический разброс электронов в пучке составлял около 8%. Собственное энергетическое разрешение спектрометра с учетом поправки на энергетический разброс электронов составляет $1/5 \div 6\%$, что достаточно хорошо согласуется с формулой $1/\sqrt{E}$.

Линейность зависимости амплитуды сигнала ЧСПП от энергии налетающих электронов проверялась до энергии электронов 20 ГэВ. Отклонение от линейности в этом диапазоне энергий было не хуже $\pm 0,7\%$.

3.5. Электронная аппаратура спектрометра

Электроника БИС-2 состоит из аппаратуры, как размещенной непосредственно на ПК '6.13', так и расположенной в крейтах КАМАК. Вся аппаратура занимает около 35 крейтов /рис.5/. По своему функциональному назначению электроника может быть разделена на следующие группы.

1. Аппаратура запуска, задачей которой является формирование импульса запуска спектрометра. Основу системы запуска составляет мажоритарная логика, использующая сигналы "Быстрое ИЛИ" с ПК и сигналы со сцинтилляционного годоскопа Г1, которая позволяет выделять события с определенным числом вторичных частиц в конечном состоянии. Для выделения событий с мюонами, электронами и гамма-квантами в конечном состоянии в систему запуска установки могут быть включены детектор мюонов и ЧСПП. При этом используются сигналы ЧСПП, взятые с последних динодов ФЭУ-110. Задержка импульса запуска от момента взаимодействия нейтрона в углеродной мишени составляет $10,5 \div 0,6$ мкс, временное разрешение системы запуска, обусловленное применением ПК и мажоритарной логики ^{3'}, не превышает $120 \div 150$ нс.

2. Аппаратура регистрации занимает 14 крейтов и объединена в две ветви КАМАК, по 7 крейтов в каждой ветви /С1 ÷ С7, рис.5/. В ее состав входит регистрирующая электроника ПК /свыше 6000 каналов/, зарядово-цифровые преобразователи ЧСПП/ЗЦП-392, 144

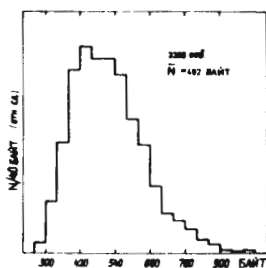


Рис.6. Гистограмма, характеризующая длину события в байтах.

канала/, регистры для системы сцинтилляционных счетчиков /50 каналов/, а также набор пересчетных схем /2СЧ-415, 2ДС-421/. Основной набор электроники ПК составляют блоки регистрации 922 G2 /180 шт./.

Подробно электроника запуска и регистрации БИС-2 описана в работах /3-16/. Длина массива информации на одно событие равна $400 \div 600$ байт, что удалось достичь передачей в ЭВМ слов только с ненулевой информацией /16/.

На рис.6 представлено распределение, характеризующее длину события в байтах.

3. Электроника связи обеспечивает работу спектрометра на линии с двумя ЭВМ, ЕС-1040 и ТРА-1001i. Все крейты с регистрирующей электроникой через стандартные контроллеры типа САМ.1.01 /17/ /см. рис.5/ связаны с универсальным драйвером /системным крейтом /19'/ и через него с ЭВМ ЕС-1040 и ТРА-1001i. Связь с ЭВМ ЕС-1040 осуществляется через селекторный канал /18/, связь с ТРА-1001i - через программный канал этой машины. Мертвое время при передаче одного события в ЭВМ ЕС-1040 составляет $11 \div 13$ мс и обусловлено наличием информации, выходящей из установки в виде четырех массивов /19/.

4. Электронику управления и контроля образует набор логических блоков, предназначенных для синхронизации работы спектрометра с ускорителем и организации сигналов прерывания для ЭВМ, а также набор программно управляемых блоков, служащих для измерения характеристик детекторов и контроля системы считывания /19/. Например, с помощью блока набора констант можно управлять работой спектрометра, заносить служебную информацию и задавать режим обработки он-лайн.

3.6. Программное обеспечение спектрометра

В программное обеспечение БИС-2 входят следующие программы:

1. Программа приема, контроля и накопления информации, являющаяся высшей по приоритету среди программ ЭВМ ЕС-1040. Она осуществляет подготовку регистрирующей аппаратуры спектрометра, разрешает выработку сигнала "триггер", организует чтение информации из установки и записывает ее на магнитные ленты.

Входной массив данных подвергается в ЭВМ контролю по следующим признакам:

а/ кратна ли длина массива данных трем, т.к. выходное слово из установки - двадцатичетырехразрядное, а прием осуществляется побайтно;

б/ все ли номера крейтов и станций соответствуют реально существующим;

в/ не нарушена ли последовательность возрастания номеров проволок ПК.

В случае нарушения какого-либо из этих условий на печать автоматически выдается соответствующая диагностика.

Запись данных на магнитную ленту производится в том формате, в каком они поступают из установки. Емкость входного буфера составляет 64 Кбайт.

С целью получения информации о работе спектрометра часть поступающих в ЕС-1040 данных обрабатывается. При этом можно получить следующую информацию:

1/ данные о работе системы ПК: частоты срабатывания проволочек, количество отказов, количество кластеров, размер кластеров, трековые эффективности ПК;

2/ данные о работе сцинтилляционных детекторов: частоты срабатывания и количество кластеров;

3/ данные о работе ЧСПП: частоты срабатывания и амплитудные распределения для каждого модуля;

4/ данные о работе системы считывания: число событий за цикл ускорителя, длины в байтах отдельных массивов, события, цикла.

Количество необходимых экспериментатору гистограмм задается с перфокарт в начале RUNа или в процессе набора статистики. Вывод заказанной информации на печать производится в конце автоматически или в произвольный момент по требованию экспериментатора. По требованию на печать выводятся также "картинки" топологии отдельных событий.

2. Тест-программы предназначены для детальной проверки работы отдельных узлов спектрометра и системы считывания. Этот контроль осуществляется с помощью малой ЭВМ ТРА-1001^{1/20}, которая имеет более высокий приоритет по сравнению с ЭВМ ЕС-1040. Контроль может осуществляться также между циклами ускорителя. С помощью этих программ производится контроль ПК, калибровка и контроль ЧСПП, подбор задержек и длительностей строб-сигналов и т.д.

3. Программы геометрической реконструкции событий /офф-лайн/ производят восстановление траекторий частиц, зарегистрированных установкой, определение геометрических и кинематических параметров события, производят запись отобранных событий со всеми параметрами на магнитную ленту суммарных результатов (DST).

Имеется два варианта программ геометрической реконструкции событий, написанных для ЭВМ ЕС-1040 и ЭВМ CDC-6500.

На этапе поиска треков использовался следующий алгоритм.

С помощью ПК с "косой" намоткой^{/5/} находились пространственные треки за магнитом. Найденные треки продолжались до пересечения со средней плоскостью магнита ($Z=0$). Точки пересечения треков с указанной плоскостью использовались для нахождения плоскостных треков /в "XZ"- и "YZ"-плоскостях/ до магнита. Пространственные полутреки до магнита восстанавливались с помощью повернутой ПК^{/5/}.

На выходе программы восстанавливаются геометрические параметры /8 параметров/ сквозных пространственных треков, прошедших через установку.

После этого происходит вычисление кинематических характеристик события: импульсов всех восстановленных треков, нахождение "вилок" из "положительных и отрицательных" треков, определение эффективных масс "вилок".

На ленту суммарных результатов (DST) отдельно записывались события двух типов:

а/ DST с событиями, содержащими Λ^0 , $\bar{\Lambda}^0$, K^0 / $\approx 5\%$ от полного числа событий/;

б/ DST с "вилками" /50% от полного числа событий/.

При нахождении полезных событий использовались "геометрические обрезания" /см. рис.7, а/-в/ - распределения вершин "вилки", исходящих из углеродной мишени/. Вершиной "вилки" считается точка, расстояние от которой до всех треков, составляющих "вилку", - минимально.

$$\bar{r}_{\min} = \sqrt{\frac{\sum_1^n r^2}{n}}, \quad /2/$$

где n - количество треков.

На рис.8 представлены распределения, характеризующие \bar{r}_{\min} для двух- и трехтрековых событий соответственно.

Эффективность реконструкции событий, проверенная методом Монте-Карло, составляет около 90% для нейтральных вилок при эффективности ПК $\approx 96\%$.

Выходной формат для записи на DST представляет собой блок переменной длины из слов по 16 бит. На DST записывается служебная информация, вся первичная экспериментальная информация в декодированном виде, координаты искр, из которых составлены треки, параметры всех вилок и треков.

Программы оптимизированы по времени: на ЕС-1040 обрабатывается 2 соб./с, на CDC-6500 - около 3 соб./с.

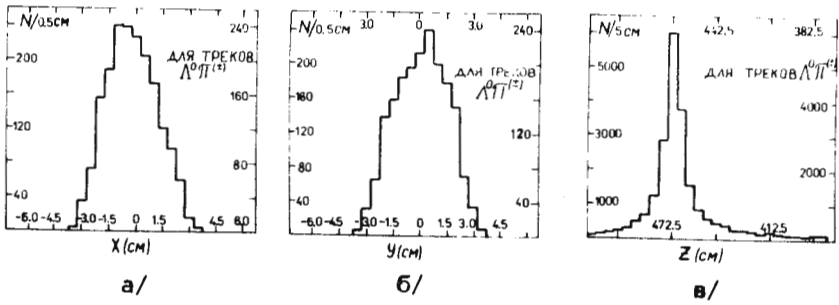


Рис. 7. Распределения вершин "вилки", исходящих из мишени: а/ по "X" - координате, б/ по "Y" - координате; в/ по "Z" - координате.

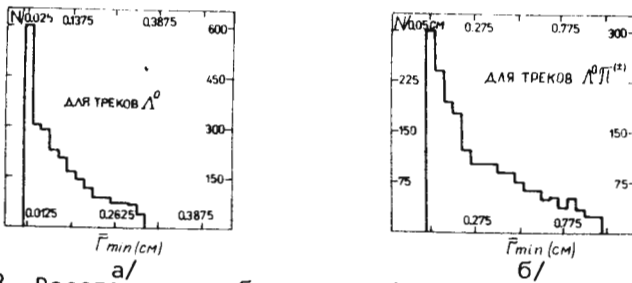


Рис. 8. Расстояния наибольшего сближения треков, составляющих "вилки".

4. ФИЗИЧЕСКИЕ ХАРАКТЕРИСТИКИ СПЕКТРОМЕТРА

Важнейшими характеристиками спектрометров, подобных БИС-2, являются их эффективность регистрации вторичных частиц и разрешение по эффективной массе, определяемое разрешением по импульсу и по углу.

Эффективность регистрации обычно определяют с помощью моделирования методом Монте-Карло. Поскольку динамика рождения новых частиц неизвестна, методом Монте-Карло была оценена эффективность регистрации установкой некоторых дифракционных процессов типа

$$p \rightarrow \Lambda^0 K^0 p,$$

которая составила для различных дифракционных процессов $1 \div 3\%$.

Другой важнейшей характеристикой установки является ее разрешение по эффективной массе. При регистрации узких резонансов и частиц ширина пиков будет совпадать с аппаратурной.

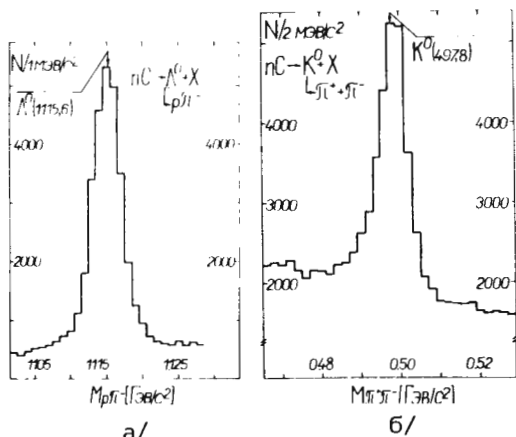


Рис.9. Спектры эффективных масс: а/ $p\pi^- (\Lambda^0)$, б/ $\pi^+\pi^- (K^0)$.

На рис.9а,б приведены спектры эффективных масс систем $p\pi^-$ и $\pi^+\pi^-$ из распадов Λ^0 - и K^0 -частиц. Разрешение (σ) по эффективной массе для Λ^0 составляет около 2 МэВ/с², для K^0 - около 4 МэВ/с². Спектры импульсов для этих частиц приведены на рис.10а,б.

С помощью БИС-2 были выделены известные резонансы с достаточно малым сечением рождения.

На рис.11а представлен спектр эффективных масс системы $\Lambda^0\pi^-$, на котором четко выделяются пики,

соответствующие $\Xi^- / 1321 \text{ МэВ/с}^2$ и $\Sigma^{*0} / 1385 \text{ МэВ/с}^2$ из мишени. На рис.11б приведен спектр для $\Xi^- / 1321 \text{ МэВ/с}^2$ из распадного объема /между ПК1 и ПК2/. На рис.11в/ показан спектр для Ξ^{*0} -частицы /1530 МэВ/с²/, распадающейся каскадно через Ξ^- .

На рис.12а приведено распределение разности углов между треками в "YZ"-плоскости до и после магнита, которое может характеризовать разрешение спектрометра по углу. На рис.12б представлено угловое распределение /по Θ^2 / для K_S^0 -мезонов, регенерированных из K_L^0 на мишени из меди длиной 30 см. Распределения на рис.12 показывают, что спектрометр может с успехом использоваться в экспериментах, где требуется хорошее угловое разрешение.

Достигнутые для БИС-2 характеристики находятся на уровне параметров лучших спектрометров, созданных для изучения странных частиц и редких резонансов. В табл.2 приведены разрешения по эффективной массе для некоторых спектрометров, аналогичных БИС-2 ²¹⁻²⁴. Спектрометр успешно работает на серпуховском ускорителе с 1978 г. За это время записано около 12 млн. событий. В настоящее время ведется обработка полученной информации.

ЗАКЛЮЧЕНИЕ

В создании спектрометра принимали участие многие сотрудники ОИЯИ.

Авторы выражают глубокую благодарность А.М.Балдину, А.А.Кузнецову, И.Н.Семенюшкину, Ю.М.Попову, Л.Г.Макарову, П.К.Маркову,

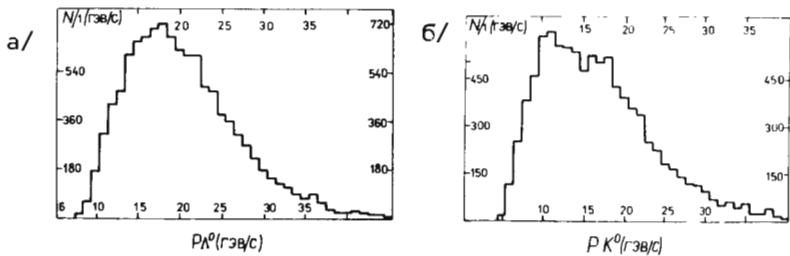


Рис.10. Импульсные распределения для Λ^0 -частиц /а/ и K^0 /б/.

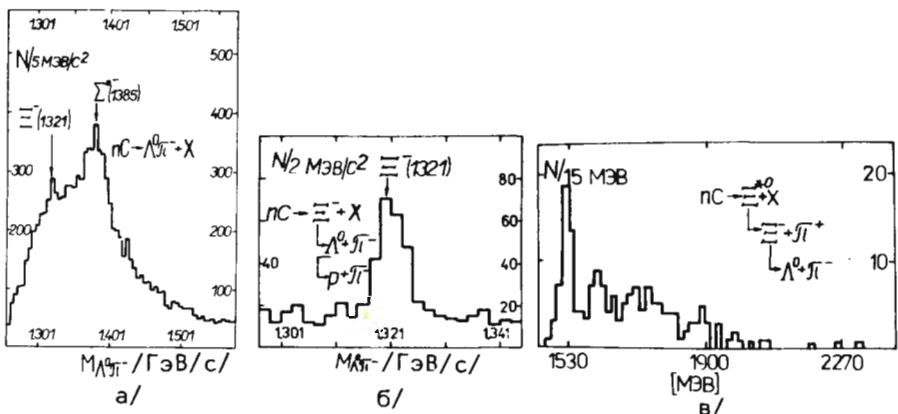


Рис.11. Спектры эффективных масс: а/ $\Lambda^0 \pi^-$, б/ $\Lambda^0 \pi^-$ /выделен резонанс Ξ^- /1321 МэВ/с²/, в/ $\Xi^- \pi^+$.

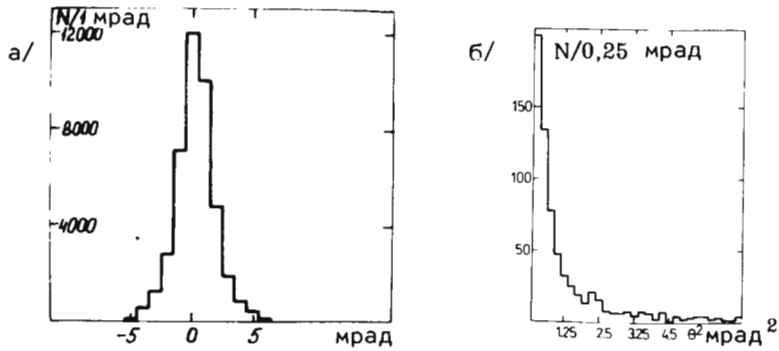


Рис.12. Распределения, характеризующие угловое разрешение спектрометра: а/разность углов между треками до и после магнита в "YZ"-плоскости; б/ угловое распределение регенерированных на меди K_s^0 .

Таблица 2

№№ пп	Авторы, ссылка	Тип спектрометра	Разрешение по эф.массе /МэВ/с ² /	Примечание
1	Семенов Ю.А. и др. Препринт ИТЭФ-34, 1977	с искровыми камерами	4,75 (К°)	Исследование редких распадов К°
2	L.Baksay et al. NIM, v.133, No.2, p.219-229	с пропорциональными камерами	5,1 (Λ°) 12,9 (К°)	Исследование частиц, рожденных около 0° на ISR (CERN)
3	M.Bourquin et al. PL, 87B, 297, 1979	с дрейфовыми и пропорциональными камерами	2,0 (Λ°) 3,0 (Ω ⁻)	Измерение времени жизни Ω ⁻ . Измерение парциальных шириин распада Ω ⁻
4	Y.Wise et al. PL, 91B, 165, 1980	с искровыми камерами	2,0 (Λ°)	Прецизионное измерение $\Gamma(\Lambda^0 \rightarrow p + e^- + \bar{\nu})$ $\Gamma(\Lambda^0 \rightarrow p + \pi^-)$
5	БИС-2, данная работа	с пропорциональными камерами	2,0 (Λ°) 4,0 (К°)	Поиск новых частиц, распадающихся на Λ°(К°)+ адроны

И.А.Савину, В.Г.Кривохижину, А.И.Малахову, В.В.Кухтину, З.М.Кохальской за постоянную поддержку работы.

Авторы благодарны И.Ф.Колпакову, В.К.Юдину, коллективу монтажной группы отдела новых научных разработок и всем сотрудникам ОННР ЛВЭ за помощь в изготовлении и наладке электронных систем спектрометра; Б.К.Курятникову и коллективу центрального опытного экспериментального производства ЛВЭ - за подготовку узлов установки и ее монтаж на канале; Е.А.Матюшевскому и коллективу КБ ЛВЭ - за конструирование узлов установки; В.С.Григорашенко, А.С.Филиппову и коллективу ОГЭ ЛВЭ - за разработку и выполнение монтажа электрической части спек-

рометра; группе химиков ЛВЭ - за изготовление сцинтилляторов; А.А.Баранову, А.Г.Парфеновой и коллективу отдела обслуживания ЛВЭ за обеспечение работ оборудованием и материалами; Н.Н.Граффову, А.И.Широкову, А.Ф.Елишеву, Л.А.Рачковой, В.В.Степановой, В.В.Рыбакову - за помощь в изготовлении и эксплуатации установки; особенно благодарны авторы Л.А.Рачковой за участие в оформлении работы; М.И.Соловьеву, Э.И.Мальцеву, Ю.Г.Баше, А.И.Григорьеву, В.К.Балашову, Э.И.Объезднову, Т.С.Объездновой, Н.А.Баландиной и коллективу СНЭО ОИЯИ - за помощь в монтаже установки и организации работ в Серпухове; Л.И.Варгановой, С.М.Вандровской, Н.М.Понамаренко - за постоянную помощь и организацию связи Дубна-Серпухов-Дубна.

Выполнение данной работы было бы невозможно без постоянной помощи и поддержки со стороны А.А.Логунова, Л.Д.Соловьева, В.А.Ярбы, К.З.Тушабрамишвили, С.П.Денисова и А.А.Морозова.

ЛИТЕРАТУРА

1. Айхнер Г. и др. ЯФ, 1978, 28, с.663.
2. Айхнер Г. и др. ЯФ, 1979, 29, с.94.
3. Айхнер Г. и др. ОИЯИ, 13-80-161, Дубна, 1980.
4. Аверьянов Ю.М. и др. ОИЯИ, БЗ-10-9590, Дубна, 1976.
5. Айхнер Г. и др. ОИЯИ, 13-80-463, Дубна, 1980.
6. Айхнер Г. и др. ОИЯИ, 13-80-464, Дубна, 1980.
7. Appel J.A. et al. Fermilab-Pub-75/41 Exp. 7100-288.
8. Александров Ю.А. и др. Препринт ФИАН, №31, М., 1979.
9. Кнапик Е. и др. ОИЯИ, 1-12428, Дубна, 1979.
10. Davydov V.A. et al. Nucl.Instr. and Meth., 1977, 145, p.267-270.
11. Русаков С.В. и др. Препринт ФИАН, №148, М., 1976.
12. Бабашин Ю.Б. и др. Препринт ФИАН, №94, М., 1978.
13. Гуськов Б.Н. и др. ОИЯИ, 13-12039, Дубна, 1978.
14. Бирулев В.К. и др. ОИЯИ, 13-80-144, Дубна, 1980.
15. Айхнер Г. и др. ОИЯИ, 13-10524, Дубна, 1977.
16. Айхнер Г. и др. ОИЯИ, 10-80-433, Дубна, 1980.
17. KFKI CAMAC Modules Catalog, KFKI, Budapest, 1974.
18. Садовников В.Н. и др. ОИЯИ, 10-11624, Дубна, 1978.
19. Айхнер Г. и др. ОИЯИ, 10-80-434, Дубна, 1980.
20. Айхнер Г. и др. ОИЯИ, 10-80-253, Дубна, 1980.
21. Семенов Ю.А. и др. Препринт ИТЭФ-34, 1977.
22. Baksay L. et al. Nucl.Instr. and Meth., 1976, v.133, No.2, p.219-229.
23. Bourquin M. et al. Phys.Lett., 1979, 87B, p.297.
24. Wise J. et al. Phys.Lett., 1980, 91B, p.165.

Рукопись поступила в издательский отдел
3 октября 1980 года.